



Proiect la disciplina Bazele Cinematicii Robotilor Industrialii

Brat Robotic cu Doua Cuple
de Rotatie

Autor: Student Mihnea – Dimitrie DOLOIU
Programul de studii: Robotică
Grupa 4LF801A

Coordonator: Prof. univ. dr. ing. Claudiu POZNA

2022



Table of Contents

1. INTRODUCERE.....	3
1.1 DEFINITIE.....	3
1.2 ABSTRACT.....	4
2. MODELUL CINEMATIC AL ROBOTULUI.....	4
2.1 STRUCTURA.....	4
2.2 MODELUL GEOMETRIC DIRECT.....	5
2.3 MODELUL CINEMATIC DIRECT.....	7
2.4 ECUATII DE MISCARE.....	8
2.4.1 LEGE DE MISCARE SUB FORMA POLINOMIALA.....	10
2.4.2 LEGEA DE MISCARE FOLOSIND SEMNAL TRAPEZOID.....	12
2.5 MODELUL GEOMETRIC INVERS.....	15
3. MODELUL DINAMIC AL ROBOTULUI.....	17
3.1 METODA NEWTON-EULER.....	18
3.2 METODA LAGRANGE-EULER.....	20
3.3 DETERMINAREA ECUATIEI MOMENTELOR.....	21
4. SIMULAREA VIRTUALA A BRATULUI ROBOTIC.....	22
4.1 PROTOTIPUL VIRTUAL.....	22
4.2 CONTROLUL ROBOTULUI DIRECT PRIN CUPLE.....	30
4.3 CONTROLUL ROBOTULUI PRIN MOTOARE.....	32
4.4 CONTROLUL ROBOTULUI PRIN FORTE/MOMENTE.....	36
4.5 CONTROLUL ROBOTULUI IN SPATIUL CARTEZIAN.....	43
4.6 EVOLUTIA SI COMPARAREA ERORILOR.....	46
5. CONCLUZIE.....	48
6. ANEXE.....	48
7. BIBLIOGRAFIE.....	54

1. INTRODUCERE

1.1 DEFINITIE

Robotul este un sistem mecatronic, proiectat cu scopul de a îndeplini sarcinii complicate, cum ar fi manipularea de obiecte în spaţiu, urmărirea de traiectorii (tracking), etc. Robotii vin în multe forme şi varietăţi, fiecare conceput pentru a îndeplini un set de sarcinii specifice domeniilor în care sunt folosiţi.

1.2 ABSTRACT

În această lucrare se va prezenta proiectarea unui **brat robotic cu două cuple de rotaţie** şi diferite metode, pentru controlul acestuia. Bratul este proiectat cu scopul de a fi capabil să deplaseze orice obiect, cu mărimi corespunzătoare, şi să urmărească traiectoria într-un spaţiu de lucru cu o arie de 1 m^2 (un pătrat cu latura de 1 m). Proiectarea şi controlul acestui brat robotic au fost realizate folosind aplicaţiile CATIAv5 şi Matlab.

2. MODELUL CINEMATIC AL ROBOTULUI

2.1 STRUCTURA

Robotul este alcătuit din două cuple rotative denumite q_1 şi q_2 , ambele având aceeaşi axă de rotaţie (în cazul nostru axa fiind considerată axa Z). Ambele cuple sunt capabile să performe o rotaţie completă de 360° (2π rad). Lungimile bratelor robotului l_1 şi l_2 , au aceeaşi lungime de 0.5 m, în total, robotul cu bratul întins drept, având lungimea de 1 m. Originea axelor va fi considerată ca fiind aflată la baza robotului.

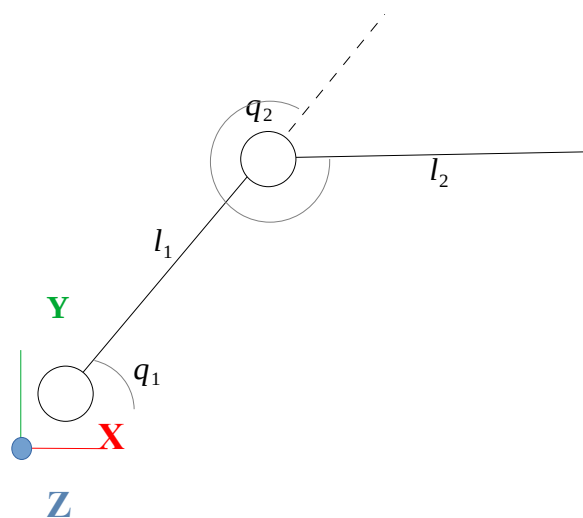


Fig 2.1 Structura bratului robotic

Fiecare segment de brat, au masele m_1 si m_2 , si momentele de inertie I_1 si I_2 , acestea fiind folosite in modelarea dinamica a robotului (Cap. 3), dar ele tot facand parte din structura.

Pe baza acestei structuri se vor deriva ecuatiile care descriu comportamentul bratului robotic.

2.2 MODELUL GEOMETRIC DIRECT

MGD-ul este folosit pentru determinarea pozitiei si orientarii efectorului in spatiul cartezian, folosind pozitile si orientarilor din spatiul articular.

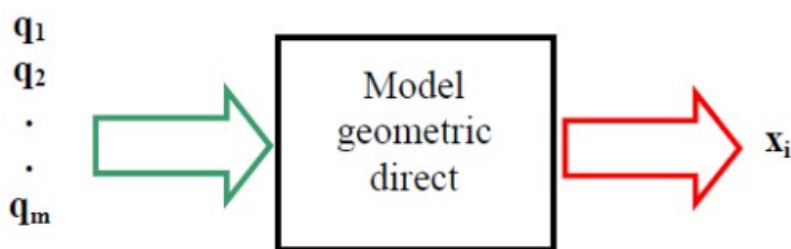


Fig 2.2.1 Modelul Geometric Direct (MGD)

Acesta este format, in cazul de fata, dintr-o singura matrice de transformare T_e^0 , care permite calculul valorilor coordonatelor X, Y, Z in functie de valorile q_1 si q_1 .

Matricile de transformare de la un reper la urmatorul, pentru bratul robotic proiectat sunt urmatoarele:

	Transformarea	Matricea
$T_1^0 =$	Rotatie in jurul axei $Z : R_z(q_1)$ Fara translatie: $t(0,0,0)$	$\begin{pmatrix} \cos(q_1) & -\sin(q_1) & 0 & 0 \\ \sin(q_1) & \cos(q_1) & 0 & 0 \\ 0 & 0 & 1 & 0 \\ 0 & 0 & 0 & 1 \end{pmatrix}$
$T_2^1 =$	Rotatie in jurul axei $Z : R_z(q_2)$ Translatie: $t(l_1,0,0)$	$\begin{pmatrix} \cos(q_2) & -\sin(q_2) & 0 & l_1 \\ \sin(q_2) & \cos(q_2) & 0 & 0 \\ 0 & 0 & 1 & 0 \\ 0 & 0 & 0 & 1 \end{pmatrix}$
$T_e^2 =$	Fara rotatie: I_3 Translatie: $t(l_2,0,0)$	$\begin{pmatrix} 1 & 0 & 0 & l_2 \\ 0 & 1 & 0 & 0 \\ 0 & 0 & 1 & 0 \\ 0 & 0 & 0 & 1 \end{pmatrix}$

Se va ajunge la transformarea matriciala T_e^0 prin inmultirea matricilor din tabelul precedent:

$$T_e^0 = T_1^0 \cdot T_2^1 \cdot T_e^2 \quad (2.0)$$

Unde :

$$T_e^0 = T_1^0 \cdot T_2^1 = \begin{pmatrix} \cos(q_1+q_2) & -\sin(q_1+q_2) & 0 & l_1 \cos(q_1) \\ \sin(q_1+q_2) & \cos(q_1+q_2) & 0 & l_1 \sin(q_1) \\ 0 & 0 & 1 & 0 \\ 0 & 0 & 0 & 1 \end{pmatrix} \quad (2.1)$$

$$T_e^0 = T_2^0 \cdot T_e^2 = \begin{pmatrix} \cos(q_1+q_2) & -\sin(q_1+q_2) & 0 & l_1 \cos(q_1) + l_2 \cos(q_1+q_2) \\ \sin(q_1+q_2) & \cos(q_1+q_2) & 0 & l_1 \sin(q_1) + l_2 \sin(q_1+q_2) \\ 0 & 0 & 1 & 0 \\ 0 & 0 & 0 & 1 \end{pmatrix} \quad (2.2)$$

Unde, punctele intermediare sunt :

O = (1...3,4) T_1^0 ----- Centrul de greutate a cuplei de rotaţie 1

S = (1...3,4) T_2^0 ----- Centrul de greutate a cuplei de rotaţie 2

P = (1...3,4) T_e^0 ----- Centrul de greutate a efectorului

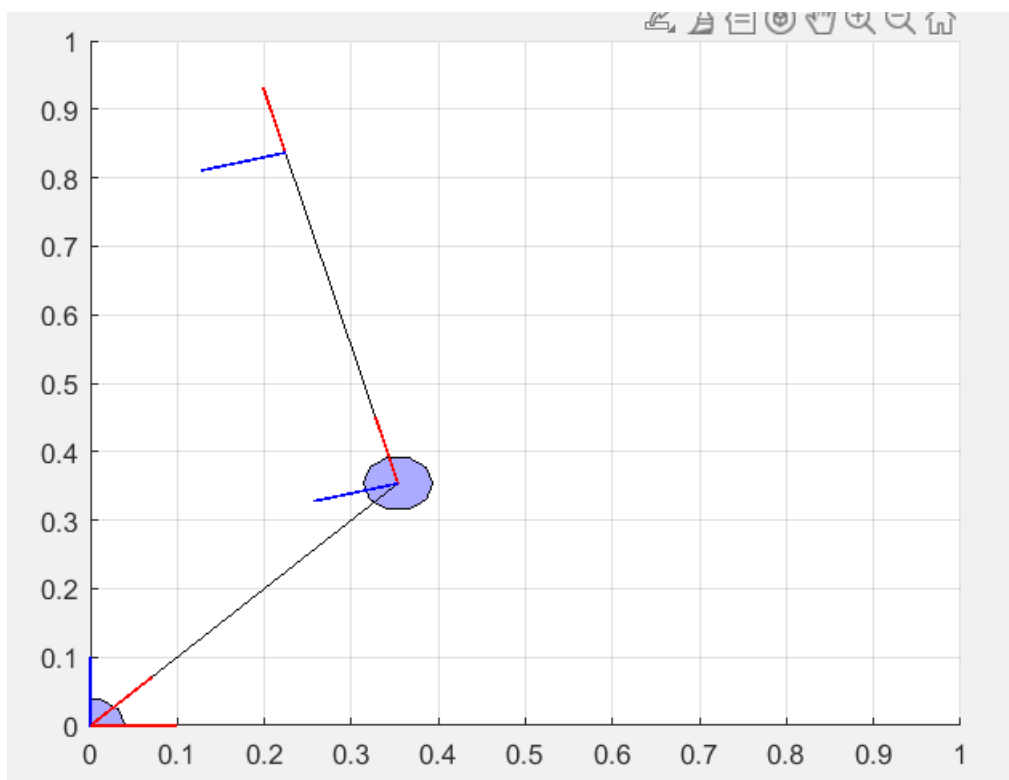


Fig 2.2.2 Pozitia si Orientarea end-efectorului pentru $q(\pi/4, \pi/3)$

Ecuatiile rezultante pentru coordonatele carteziene vor fi :

$$X = l_1 * \cos(q_1) + l_2 * \cos(q_1+q_2) \quad (3.1)$$

$$Y = l_1 * \sin(q_1) + l_2 * \sin(q_1+q_2) \quad (3.2)$$

$$Z = 0 \quad (3.3)$$

2.3 MODELUL CINEMATIC DIRECT

MCD permite determinarea vitezelor liniare şi unghiulare a dispozitivului efector, în funcţie de vitezele articulaţiilor. MCD mai este folosit şi pentru determinarea traiectoriei pe care bratul efector o va urma, vectorul vitezei liniare fiind folosit pentru a urma traiectoria.

Această transformare se face prin intermediul unei matricii de transformare numită **Jacobian** :

$$J(q) = \begin{pmatrix} -l_1 \sin(q_1) - l_2 \sin(q_1+q_2) & -l_2 \sin(q_1+q_2) \\ l_1 \cos(q_1) + l_2 \cos(q_1+q_2) & l_2 \cos(q_1+q_2) \\ 0 & 0 \\ 0 & 0 \\ 0 & 0 \\ 1 & 1 \end{pmatrix} \quad (4.0)$$

Jacobianul robotului proiectat

Jacobianul poate fi împărţit în două matricii de rang mai mic care descriu vitezele liniare (J_v) şi cele unghiulare (J_w) :

$$J_v = \begin{pmatrix} -l_1 \sin(q_1) - l_2 \sin(q_1 + q_2) & -l_2 \sin(q_1 + q_2) \\ l_1 \cos(q_1) + l_2 \cos(q_1 + q_2) & l_2 \cos(q_1 + q_2) \\ 0 & 0 \end{pmatrix} \quad (4.1)$$

$$J_w = \begin{pmatrix} 0 & 0 \\ 0 & 0 \\ 1 & 1 \end{pmatrix} \quad (4.2)$$

Jacobianurile vitezelor liniare si unghiulare in forma separata

2.4 ECUATII DE MISCARE

Traectoria urmarita de efector este data de vectorii vitezelor liniare in punctele respective de pe traectorie.

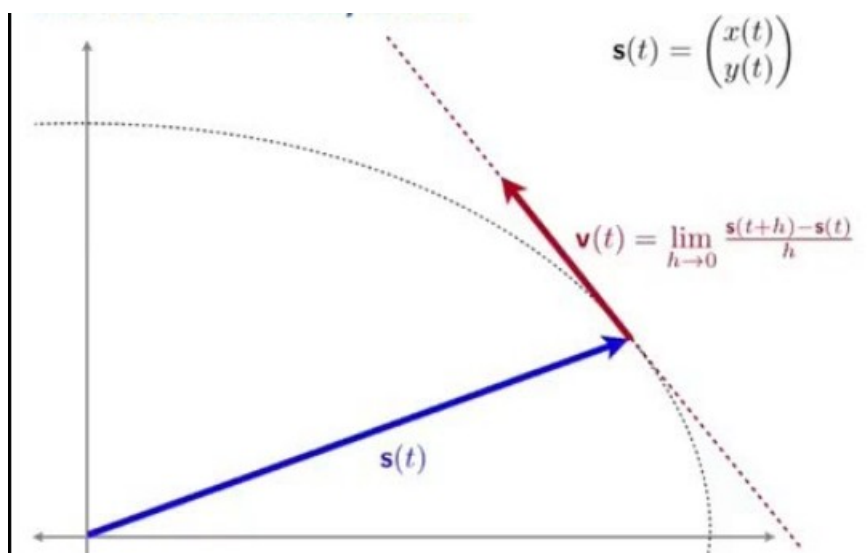


Fig 2.4 Reprezentarea vectorului vitezelor

Se doreşte să se genereze ecuaţii, care să respecte următoarele condiţii :

- deplasarea iniţială este nulă : $q(0)$
- deplasarea finală este cunoscută : $q(t_f) = q$
- viteza iniţială este nulă : $\dot{q}(0) = 0$
- viteza finală este nulă : $\dot{q}(t_f) = 0$

Folosind condiţiile de mai sus, se vor prezenta două metode pentru deplasarea efectorului :

2.4.1 LEGE DE MISCARE SUB FORMA POLINOMIALĂ

$$q(t) = \frac{-2q}{t_f^3}t^3 + \frac{3q}{t_f^2}t^2 \quad (5.1)$$

Legea de mişcare

Legea de mişcare de forma polinomială va folosi un polinom de gradul 3, deoarece se presupune că valoarea acceleraţiei va varia liniar în timp.

Viteza şi acceleraţia se vor determina prin derivarea legii de mişcare :

$$\dot{q}(t) = \frac{-6q}{t_f^3}t^2 + \frac{6q}{t_f^2}t \quad (5.2)$$

Ecuaţia vitezei

$$\ddot{q}(t) = \frac{-12q}{t_f^3}t + \frac{6q}{t_f^2} \quad (5.3)$$

Ecuaţia acceleraţiei

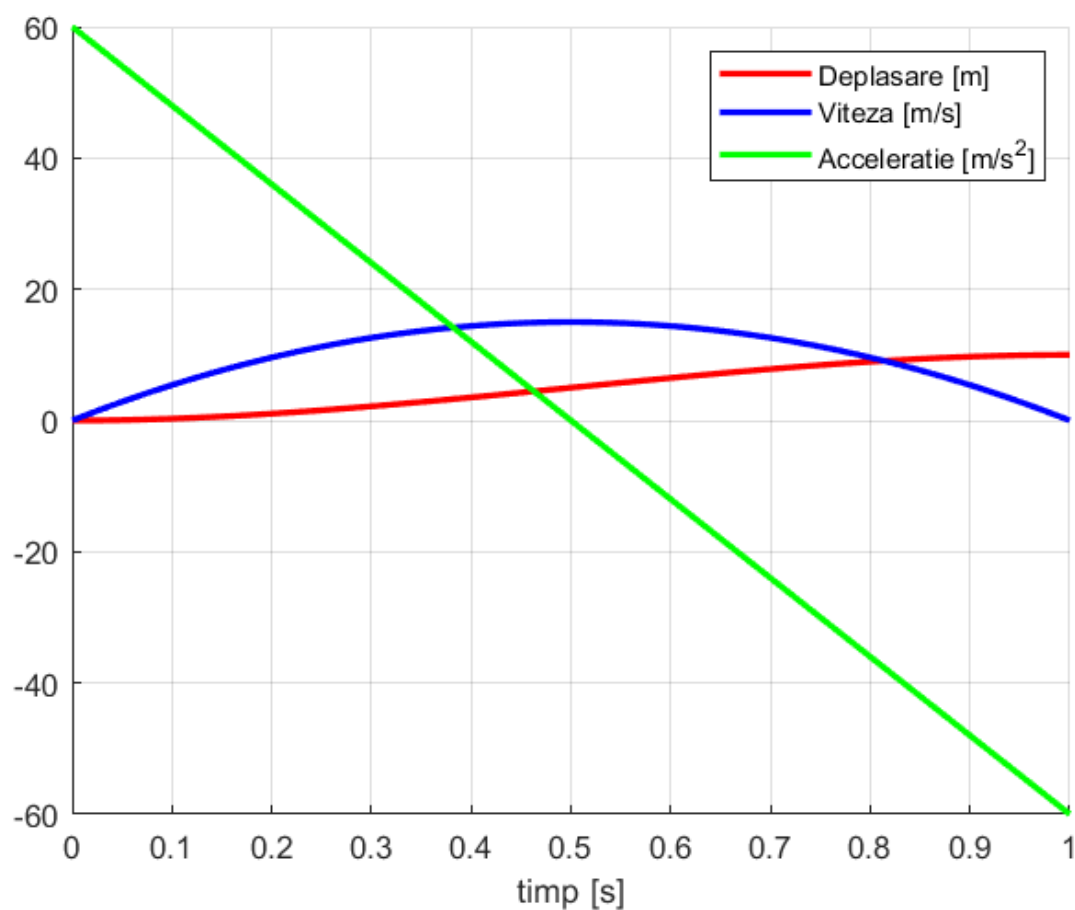


Fig 2.4.1 Graficele ecuatiilor de miscare pentru $q = 10$

Ecuatiile pot fi scrise si sub forma matriciala :

$$\begin{pmatrix} a_0 \\ a_1 \\ a_2 \\ a_3 \end{pmatrix} = \begin{pmatrix} 0 & 1 \\ 0 & 0 \\ \frac{3}{t_f^2} & \frac{-3}{t_f^2} \\ \frac{-2}{t_f^3} & \frac{2}{t_f^3} \end{pmatrix} \cdot \begin{pmatrix} q_f \\ q_i \end{pmatrix} \quad (5.4)$$

Matricia
coeficientilor

$$\begin{pmatrix} q(t) \\ \dot{q}(t) \\ \ddot{q}(t) \end{pmatrix} = \begin{pmatrix} 1 & t & t^2 & t^3 \\ 0 & 1 & 2t & 3t^2 \\ 0 & 0 & 2 & 6t \end{pmatrix} \cdot \begin{pmatrix} a_0 \\ a_1 \\ a_2 \\ a_3 \end{pmatrix} \quad (5.5)$$

Matrcia ecuatiilor polinomiale

Combinand cele doua ecuatii de mai sus, si inlocuind vectorul vitezelor articulare din MCD, vom obtine urmatoarea relatie:

$$V = J(q) \cdot P(t) \cdot C(t_f) \cdot q \quad (5.6)$$

Unde :

- P este matricia ecuatiilor polinomiale (5.4)
- C este matricia coeficientilor (5.5)
- J este Jacobianul

2.4.2 LEGEA DE MISCARE FOLOSIND SEMNAL TRAPEZOID

Aceasta metoda va face controlul miscarii prin viteza. Semnalul vitezei, va lua o forma trapezoida.

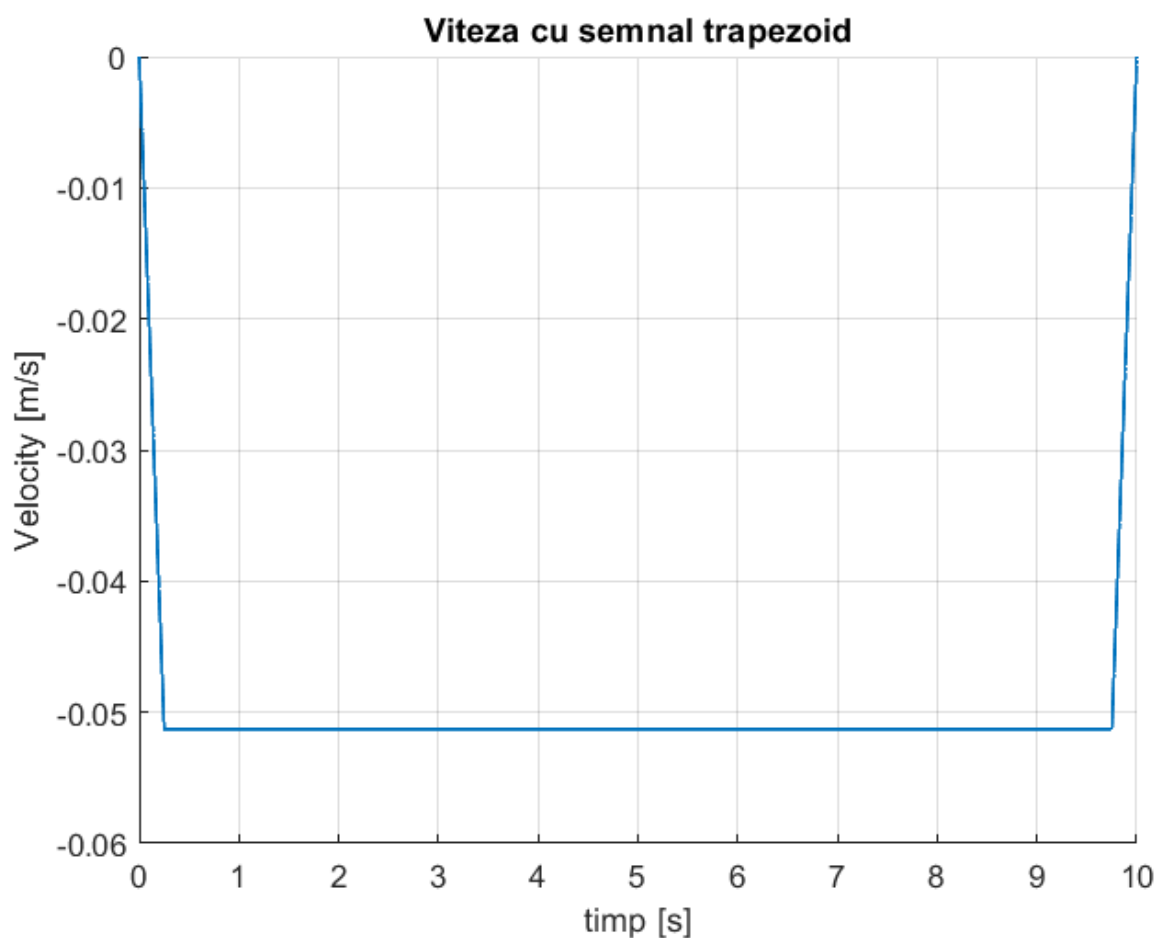


Fig 2.4.2 Viteza cu semnal trapezoid

Semnalul prezinta 3 regiunii, caracterizate prin urmatoarele ecuatii :

- Regiunea de crestere a vitezei pana la valoarea sa maxima:

$$V = \frac{V_{max}}{t_r} \cdot t \quad (6.1)$$

- Mentinerea vitezei la valoarea sa maxima:

$$V = V_{max} \quad (6.2)$$

- Descrescerea vitezei pana la valoarea nula:



$$V = \frac{V_{max}}{t_r} \cdot (t_f - t) \quad (6.3)$$

Dupa cum se observa in figura 2.4.2 si in ecuatiile care descriu figura, efectorul accelereaza pe o perioada t_r , numita **timp de crestere** pana se ajunga la viteza sa maxima. Aceasta viteza va fi mentinuta pe majoritatea cursei, pana cand se ajunge la perioada t_d , numita **timp de descrestere** si fiind egala cu $t_f - t_r$, unde t_f este **timpul final**. Viteza efecturului v-a scadea la valoarea 0, atunci cand se atinge t_f .

Similar cu metoda folosind polinoame, trebuie sa se stie pozitia finala la care trebuie sa ajunga efecturul, Viteza maxima, fiind dependenta de acest parametru, cat si de t_r si t_f .

$$V_{max} = \frac{X}{(t_f - t_r)} \quad (6.4)$$

Valoarea vitezei
maxime

2.5 MODELUL GEOMETRIC INVERS

MGI permite determinarea configuraţiei în care trebuie sa ajunga structura mecanica a robotului (a vectorului coordonatelor articulare q_j) astfel încât dispozitivul efector să fie poziţionat în poziţia dorită x_i .

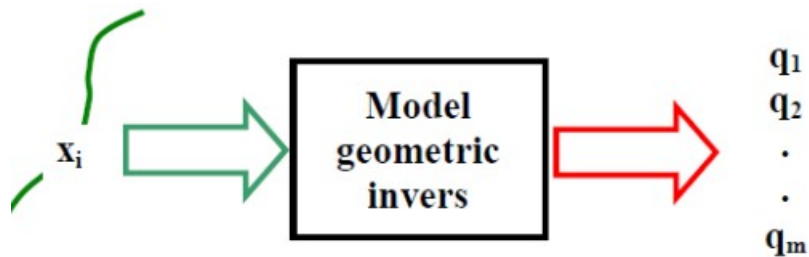


Fig 2.5 Modelul Geometric Invers

Exista mai multe metode de determinare a MGI, in aceasta lucrare se prezenta metoda numerica. Aceasta metoda este iterativa, deci rezultatul trebuie sa converga la o valoare.

$$q_{k+1} = q_k + \alpha \cdot J^{-1}(q) \cdot \Delta x \quad (7.1)$$

Algoritmul de aproximare
numerica Newton

Unde :

- q_{k+1} este iteratia curenta
- q_k este iteratia precedenta
- α factorul de invatare
- Δx eroarea de pozitie fata de pozitia dorita.

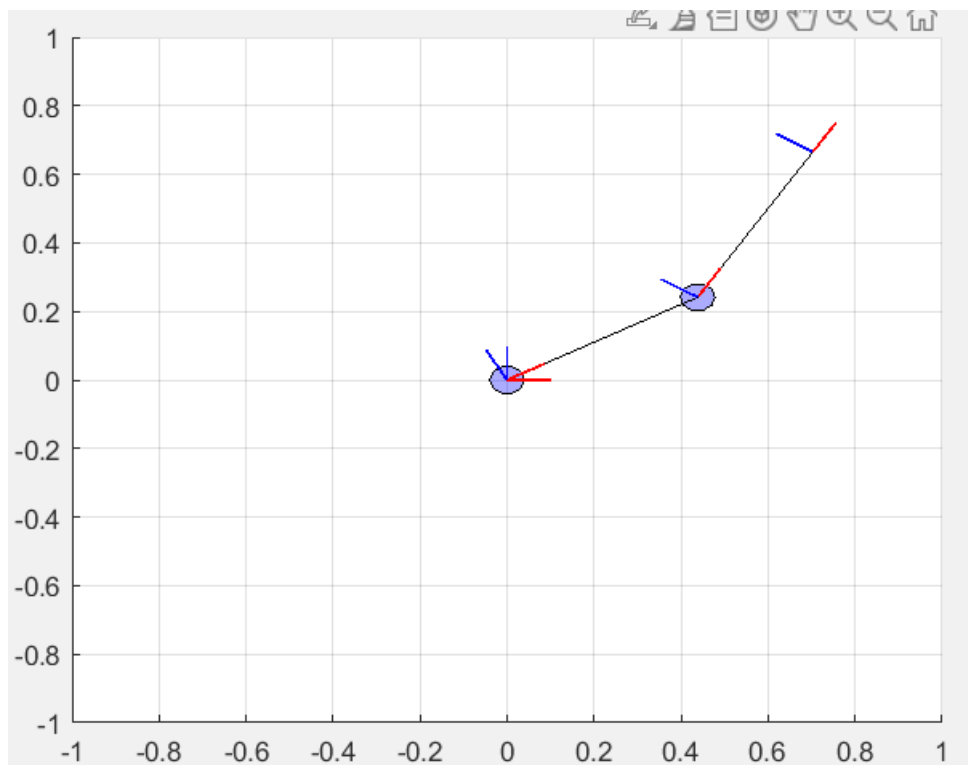


Fig 2.5 Brat Robotic la coordonatele $x = 0.7071$ si $y = 0.7071$

O problema care poate fi intampinata ar fi inversarea Jacobianului. Este posibil ca Jacobianul sa nu fie o matrice de forma patratica, ceea ce nu permite inversarea acesteia prin metoda conventionala.

Exista 2 moduri prin care se poate afla inversa matricii J :

- Pseudo-inversare

$$J^{-1} = (J^T \cdot J)^{-1} J^T \quad (7.2)$$

- Folosirea doar a unui minor caracteristic

$$J = \begin{pmatrix} -l_1 \sin(q_1) - l_2 \sin(q_1 + q_2) & -l_2 \sin(q_1 + q_2) \\ l_1 \cos(q_1) + l_2 \cos(q_1 + q_2) & l_2 \cos(q_1 + q_2) \end{pmatrix} \quad (7.3)$$

(Minorul caracteristic al robotul proiectat)



Metoda folosita nu este cea mai optima, existand pozitii care nu pot fi atinse. In capitolele urmatoare, se vor folosi metode mai sofisticate, care au la baza metoda prezentata in acest subcapitol.

3. MODELUL DINAMIC AL ROBOTULUI

Modelul Dinamic este o aproximare a realitatii care permite stabilirea unei relatii cauzale conditiile in care starea sistemului este cunoscuta, acesta fiind capabil sa faca predictii asupra viitorului doar daca, pe langa starea curenta, sunt cunoscute si starile anterioare. Este nevoie deci de cunoașterea unei istorii a ceea ce s-a întâmplat deja.

Formula generalizata, pentru determinarea Fortelor/Momentelor generate de un sistem este :

$$M(q)[\ddot{q}] + C(q)[\dot{q}^2] + B(q)[\dot{q}\dot{q}] + G(q) = T \quad (8.0)$$

Unde :

- M reprezinta matricia de inertie a sistemului
- C si B, reprezinta matricea fortelor centrifuge, respectiv Coriolis
- G matricea fortelor gravitationale

Determinarea acestor matricii se poate face folosind o varietate de metode. In lucrarea aceasta se vor prezenta 2 dintre aceste metode.

3.1 METODA NEWTON-EULER

Determinarea Fortelor/Momentelor din arcticulatii, se va face in doua etape :

- Etapa Cinematica
- Etapa Dinamica

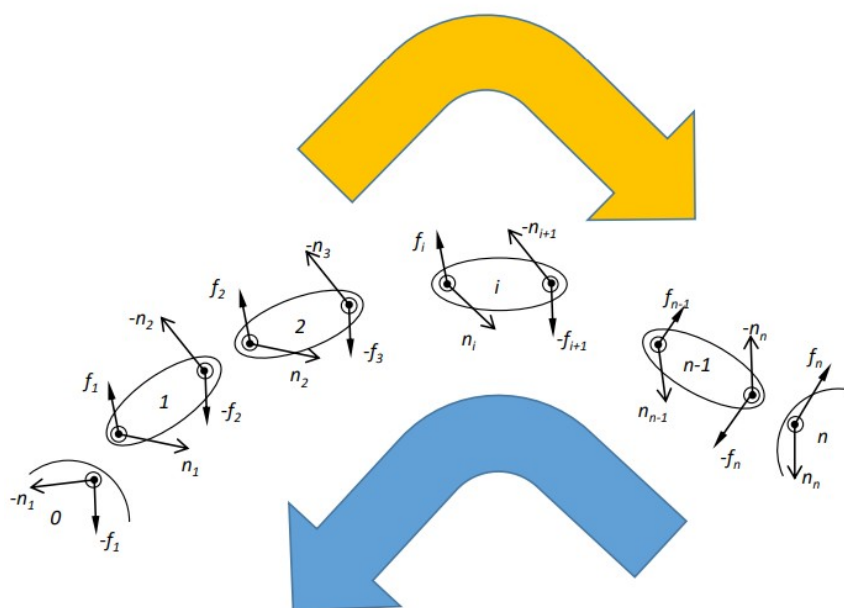


Fig. 3.1.1 Ordinea de parcurgere a metodei Newton-Euler

Etapa Cinematică constă în parcurgerea lanţului cinematic de la baza robotului, la efector (sageata galbena). Se vor cauta să se determine acceleraţiile unghiulare $\dot{\omega}$ şi liniare \dot{v} ale fiecărui link al robotului.

Formulele pentru determinarea acestor două variabile sunt :

$${}^i a_j = R_0^i \ddot{p}_j \quad (9.1)$$

$${}^j \varepsilon_i = {}^i \dot{\omega}_j \quad (9.2)$$

Unde :

- ${}^i a_j$ este acceleraţia liniară j în reperul i
- ${}^0 \ddot{p}_j$ este acceleraţia liniară măsurată în centrul de masă al segmentului j în reperul global



- R_0^i este matricea de rotaţie de la reperul global, la reperul i
- ${}^j\epsilon_i = {}^i\dot{\omega}_j$ acceleraţia unghiulară i în reperul j

La fiecare link, al robotului, se vor calcula Fortele F şi Momentele N ale fiecărui link :

$$F_i = m_i {}^i a_i \quad (9.3)$$

$$N_i = I_i {}^i \epsilon_i + ({}^i \omega_i)^T I_i {}^i \omega_i \quad (9.4)$$

Unde :

- m_i masa link-ului i
- I_i torsorul de inerţie al link-ului i

Dupa ce s-a trecut prin intregul lant cinematic, si s-au calculat toate fortele/momentele din fiecare segment, se va trece in **etapa Dinamica**. In etapa dinamica se vor calcula fortele si momentele din articulatii. Aceasta se va parcurge de capatul efecteurului, la baza (sageata albastra).

$${}^i f_i = R_{i+1}^i {}^{i+1} f_{i+1} + F_i \quad (9.5)$$

$${}^i n_i = R_{i+1}^i {}^{i+1} n_{i+1} + N_i + {}^i p_{i+1} R_{i+1}^i {}^{i+1} f_{i+1} - {}^i p_i {}^i f_i \quad (9.6)$$

3.2 METODA LAGRANGE-EULER

Determinarea Fortelor/Momentelor se va face folosind Lagrangeanul. Pentru a folosi Lagrangeanul este mai intai nevoie sa se determine energia cinetica K si potentiala U .

$$K = \frac{1}{2} \cdot (\dot{q})^T M(q) \dot{q} \quad (10.1)$$

$$U = G(q) \quad (10.2)$$

Lagrangeanul este diferenta dintre energia cinetica si energia potentiala :

$$L = K - U \quad (10.3)$$

Unde cuplul este dat de urmatoarea formula :

$$\frac{d}{dt} \frac{\partial K}{\partial \dot{q}} - \frac{\partial K}{\partial q} + \frac{\partial U}{\partial q} = \tau \quad (10.4)$$

$$\frac{d}{dt} \frac{\partial K}{\partial \dot{q}} - \frac{\partial K}{\partial q} = M(q)[\ddot{q}] + B(q)[\dot{q}^2] + C(q)[\dot{q}\dot{q}] \quad (10.4.1)$$

$$\frac{\partial U}{\partial q} = G(q) \quad (10.4.2)$$

Unde :

$$M(q) = \Sigma (m_i J_{vi}^T J_{vi} + J_{wi}^T I_{ci} J_{wi}) \quad (10.5)$$

$$J_{v1} = \begin{pmatrix} -c_{11} \sin(q_1) & 0 \\ c_{11} \cos(q_1) & 0 \\ 0 & 0 \end{pmatrix} \quad (10.6)$$

$$J_{v2} = \begin{pmatrix} -l_1 \sin(q_1) - c_{11} \sin(q_1 + q_2) & -c_{11} \sin(q_1 + q_2) \\ l_1 \cos(q_1) + c_{11} \cos(q_1 + q_2) & c_{11} \cos(q_1 + q_2) \\ 0 & 0 \end{pmatrix} \quad (10.7)$$

$$J_{w1} = \begin{pmatrix} 0 & 0 \\ 0 & 0 \\ 1 & 0 \end{pmatrix} \quad (10.8)$$

$$J_{w2} = \begin{pmatrix} 0 & 0 \\ 0 & 0 \\ 1 & 1 \end{pmatrix} \quad (10.9)$$

Comparativ cu metoda Newton-Euler prezentata la subcapitolul anterior, Lagrange-Euler este mult mai rapida la calcule, dar nu se vor da toate Fortele/Momentele din cuple, ci doar cele specifice tipului de articulatie care este (articulatie R – moment de rotatie, articulatie T – forta).

3.3 DETERMINAREA ECUATIEI MOMENTELOR

Indiferent de metoda folosita, in final se vor obtine urmatoarele matricii :

$$M(q) = \begin{pmatrix} m_1(c_{11})^2 + m_2(l_1^2 + c_{22}^2) + 2m_2l_1c_{22}\cos(q_2) + I_{zz,1} + I_{zz,2} & m_2c_{22}^2 + m_2c_{22}l_1\cos(q_2) + I_{zz,2} \\ m_2c_{22}^2 + m_2c_{22}l_1\cos(q_2) + I_{zz,2} & m_2c_{22}^2 + I_{zz,2} \end{pmatrix} \quad (11.1)$$

$$C(q) = \begin{pmatrix} 0 & -m_2l_1c_{22}\sin(q_2) \\ -m_2l_1c_{22}\sin(q_2) & 0 \end{pmatrix} \quad (11.2)$$

$$B(q) = \begin{pmatrix} -2m_2l_1c_{22}\sin(q_2) \\ 0 \end{pmatrix} \quad (11.3)$$

$$G(q) = \begin{pmatrix} 0 \\ 0 \end{pmatrix} \quad (11.4) , \text{ deoarece vectorul acceleratiei gravitationale este : } g = \begin{pmatrix} 0 \\ 0 \\ g \end{pmatrix}$$

4. SIMULAREA VIRTUALA A BRATULUI ROBOTIC

4.1 PROTOTIPUL VIRTUAL

Modelul virtual al robotului a fost creat, folosind aplicatia de proiectare grafica, CATIAv5. Bratul Robotic este alcatuit din 3 partii, o baza si 2 link-uri, unul dintre acestea fiind link-ul efector.

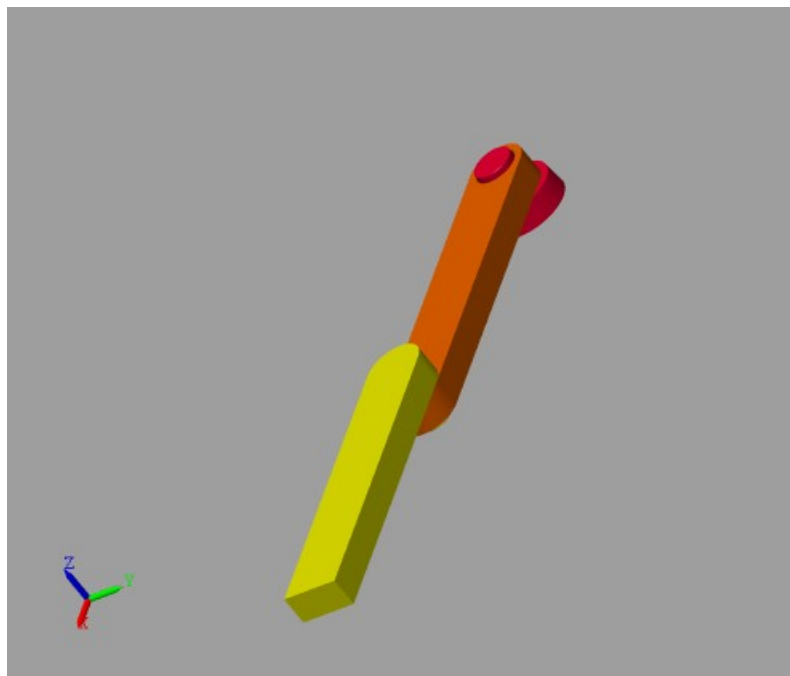


Fig 4.1.1 Modelul Virtual al Bratului Robotic

Pentru fiecare cupla, se vor alege aceleasi motor electric, pentru punerea in miscare a bratului. Motorul se va alege in functie de momentele maxime, care pot aparea la aceste cuple. Nu exista o problema daca sunt situatii in care cuplul sa depaseasca valoarea nominala, cat timp aceasta depasire nu are loc pe durata lungii de timp.

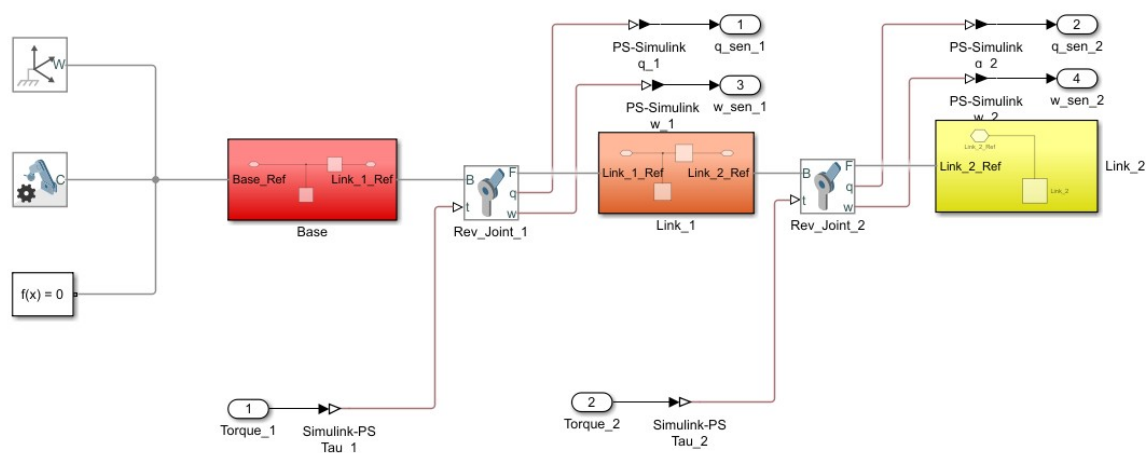


Fig 4.1.2 Schema bloc al Modelului Virtual al Bratului robotic

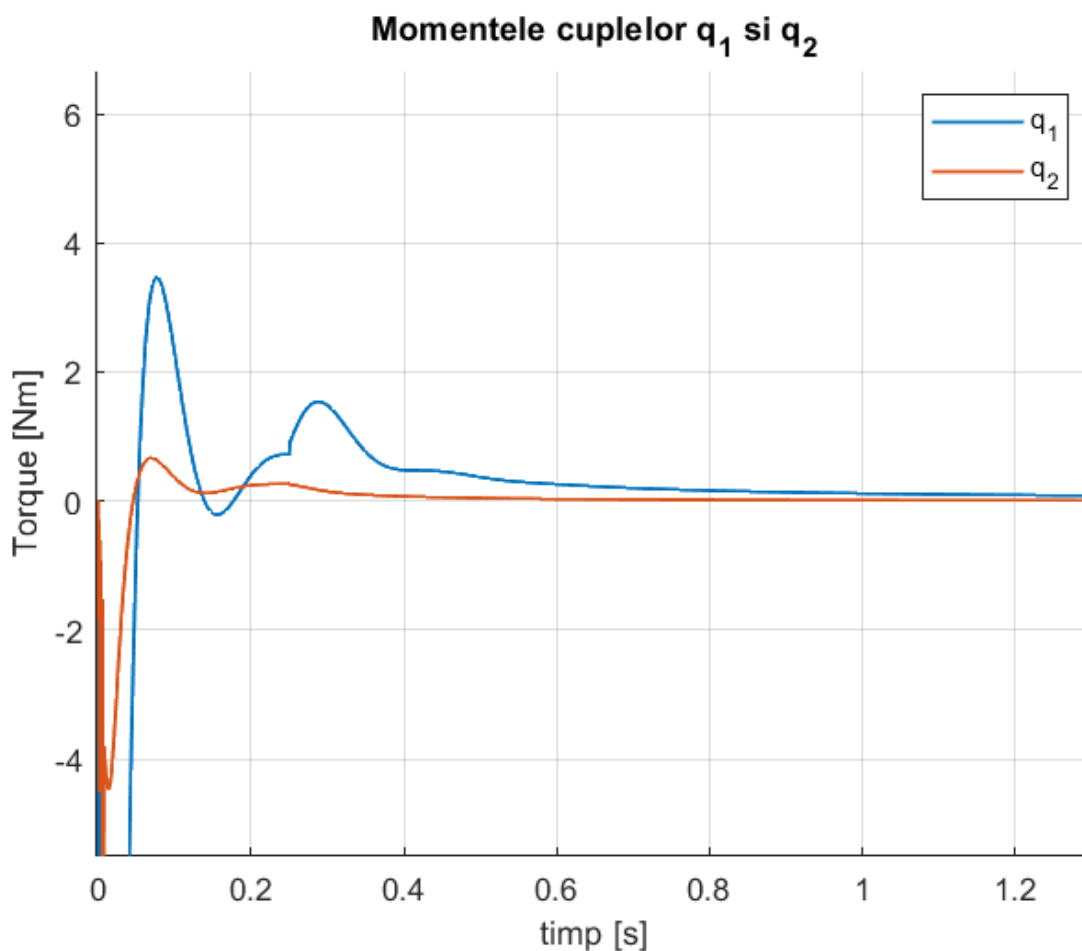


Fig 4.1.3 Graficele momentelor in cuple

Se observa in graficul din figura 4.1.2, ca exista o crestere brusca a momentului (4Nm - 10Nm), timp de o fractiune de secunda, cand estepus in miscare robotul. In rest, valoarea momentelor se afla in domeniul mNm – zecilor de mNm.

Motorul ales este un motor de curent continuu, cu perii, **DCX 35 L**, din gama maxon.

DCX 35 L $\varnothing 35$ mm, graphite brushes, DC motor

Key Data: 80/120 W, 138 mNm, 12300 rpm

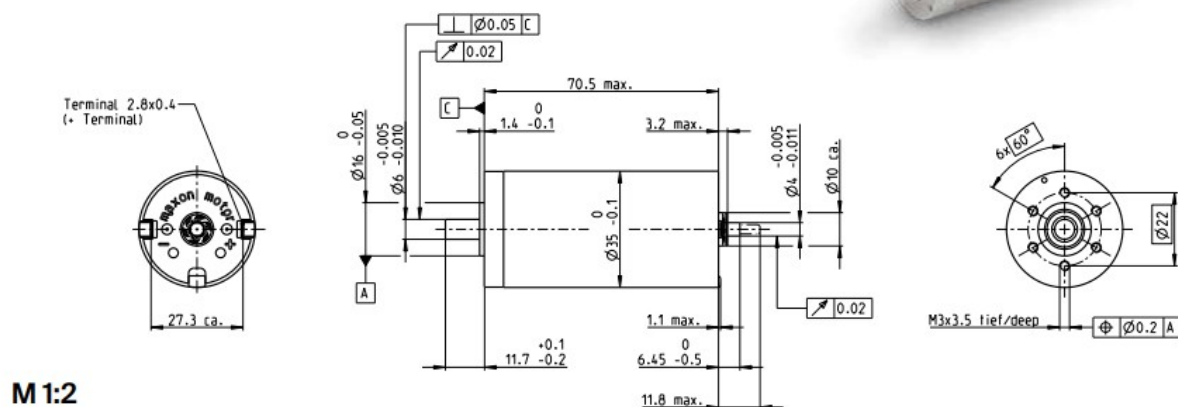
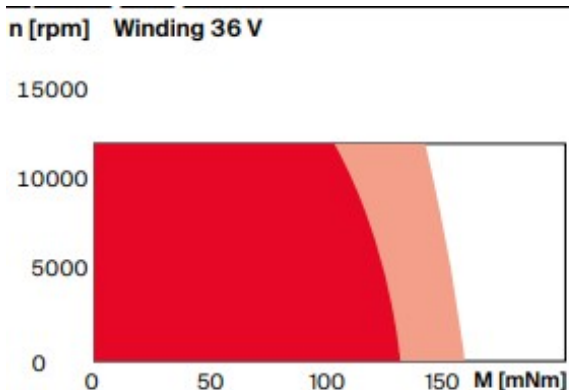


Fig 4.1.4 Desenul tehnic al motorului



În figura 4.1.4 este prezentată caracteristica mecanică a motorului. Zona de funcționare în continuu a motorului este colorată cu roșu, adică motorul poate funcționa în zona dată, indiferent de perioada de funcționare. Zona albă în schimb, permite o funcționalitate pe o perioadă scurtă de timp.

Pentru a crește valoarea momentului, peste cea nominală, fără a strica motorul, se va folosi un reductor.

Fig 4.1.5 Caracteristica mecanică de funcționare a motorului

1_	Nominal voltage	V	18
2_	No load speed	rpm	7200
3_	No load current	mA	177
4_	Nominal speed	rpm	6640
5_	Nominal torque	mNm	120
6_	Nominal current (max. continuous current)	A	5.32
7_	Stall torque	mNm	1980
8_	Stall current	A	84.8
9_	Max. efficiency	%	88
10_	Terminal resistance	Ω	0.212
11_	Terminal inductance	mH	0.077
12_	Torque constant	mNm/A	23.4
13_	Speed constant	rpm/V	408
14_	Speed/torque gradient	rpm/mNm	3.70
15_	Mechanical time constant	ms	3.97
16_	Rotor inertia	gcm ²	102

Fig 4.1.6 Parametrii Motorului

Reductorul ales, este reductorul planetar **GPX 42**, din gama maxon.

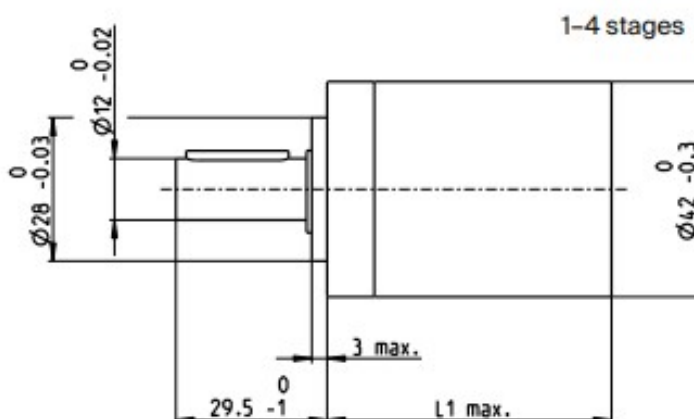


Fig 4.1.7 Desenul tehnic al reductorului planetar

Reduction	150 : 1
Absolute reduction	2401/16
Number of stages	4
Max. continuous torque	15 Nm
Max. intermittent torque	22.5 Nm
Direction of rotation, drive to output	Equal
Max. efficiency	64 %
Average backlash no load	1 °
Mass inertia	5 gcm ²
Gearhead length (L1)	84.5 mm
Max. transmittable power (continuous)	20 W
Max. transmittable power (intermittent)	25 W

Fig 4.1.8 Parametrii reductorului

$$M_n = 150 * 120 \text{ mNm} * 0.88 * 0.64 = 10,137.6 \text{ mNm}$$

Valoarea momentului nominal după aplicarea
reductorului

4.2 CONTROLUL ROBOTULUI DIRECT PRIN CUPLE

Prima schema de control al robotului va controla bratul robotic, folosind valoarea poziție în spațiul articular a celor 2 cuple.

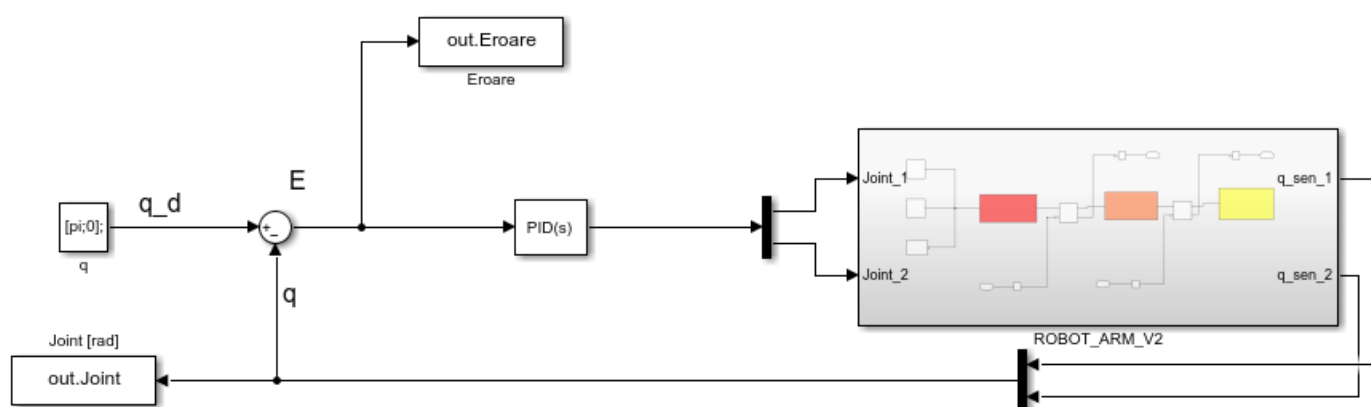


Fig 4.2.1 Schema bloc

Intrarea schemei este valorile dorite la care vrem sa ajunga articulatiile. Se i-a eroarea deplasarii E , aceasta fiind $q_d - q$. Eroarea E arata, cat de mult difera valoarea dorita, de referinta q_d fata de valoarea returnata de la senzorii q . PID-ul are rolul de regulator, asigurand ca eroarea sa fie cat mai mica, pentru cazul primei schemei, semnalul de eroare va fi amplificat doar cu proportionalul P , derivatorul D si integratorul I avand amandoi coeficientii nulii. Cu cat valoarea erorii este mai mare, cu atat corectia facuta de sistem va fi mai semnificativa.

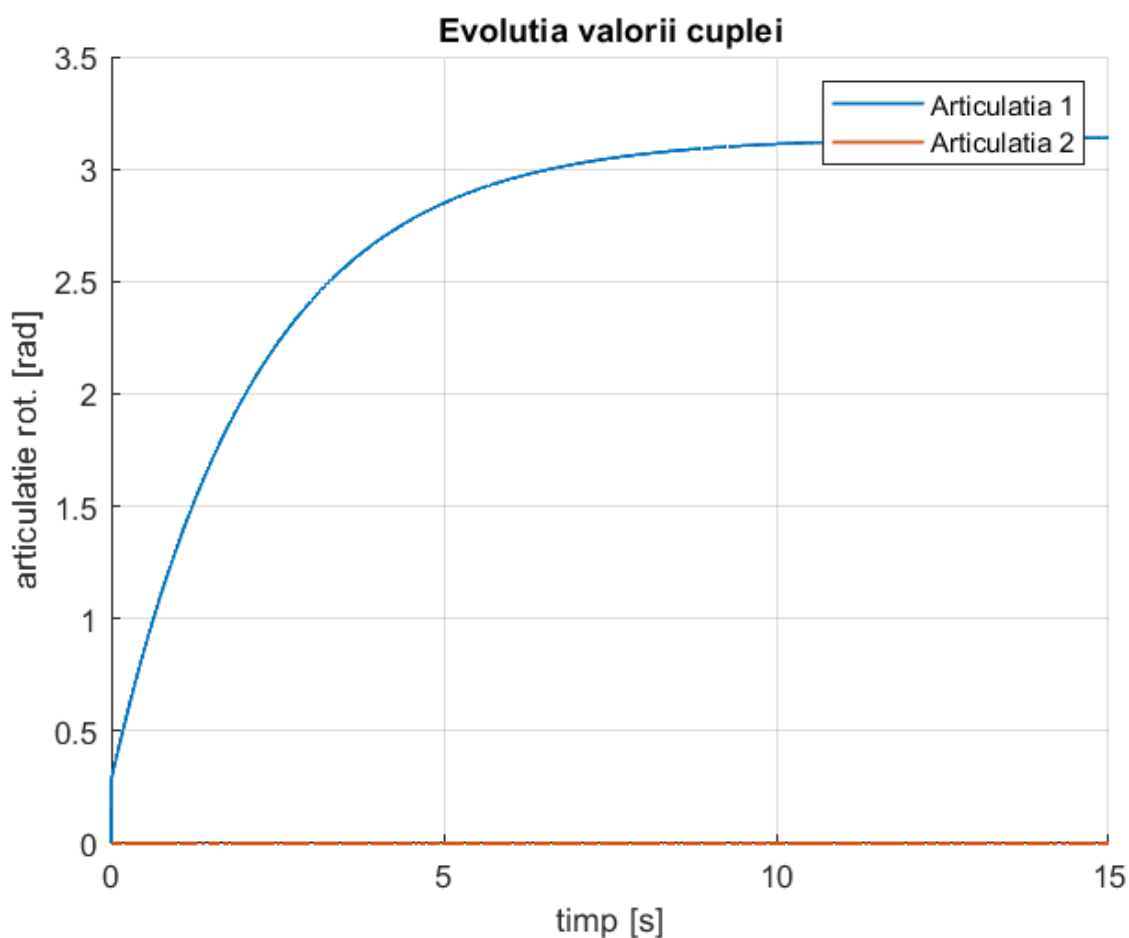


Fig 4.2.2 Graful evolutiei valorii cuplelor in timp

Nu este necesar, adaugarea termenilor D si I la regulator, deoarece ,dupa cum se observa in figura 4.2.2, nu exista suprareglaj si valoarea se stabilizeaza la valoarea dorita.

4.3 CONTROLUL ROBOTULUI PRIN MOTOARE

Asemănător cu schema precedentă, controlul va fi făcut tot folosind pozițiile dorite în spațiul articular. Diferența este că valorile dorite vor fi date de motoare, acestea fiind controlate prin voltajul dat la intrare.

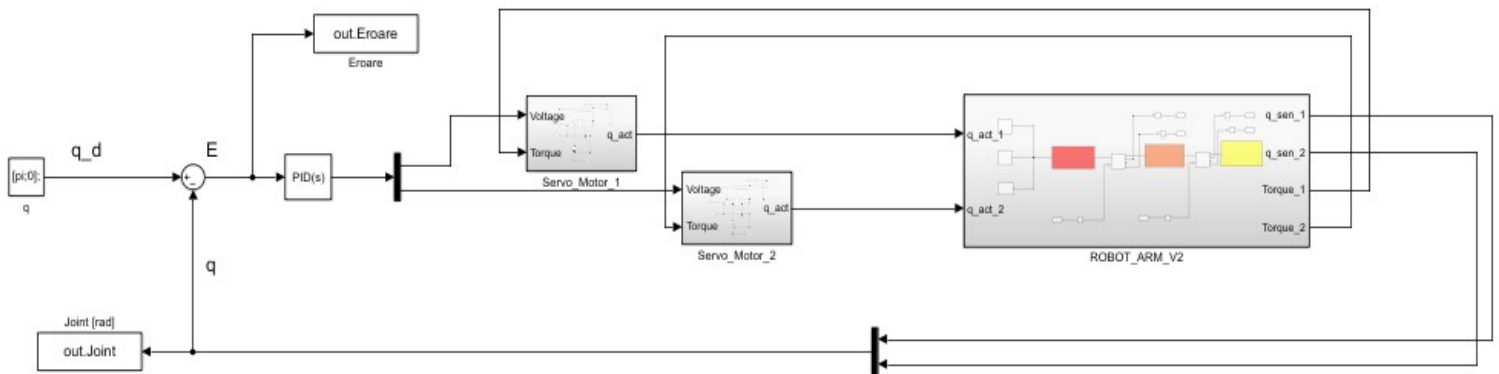


Fig 4.3.1 Schema bloc

Eroarea este calculata si amplificata, prin regulatorul PID, si aceasta este trimisa la motoare ca voltaj. Motoarele convertesc tensiunea primita, in putere mecanica (viteza unghiulara ω si momentul de rotatie T).

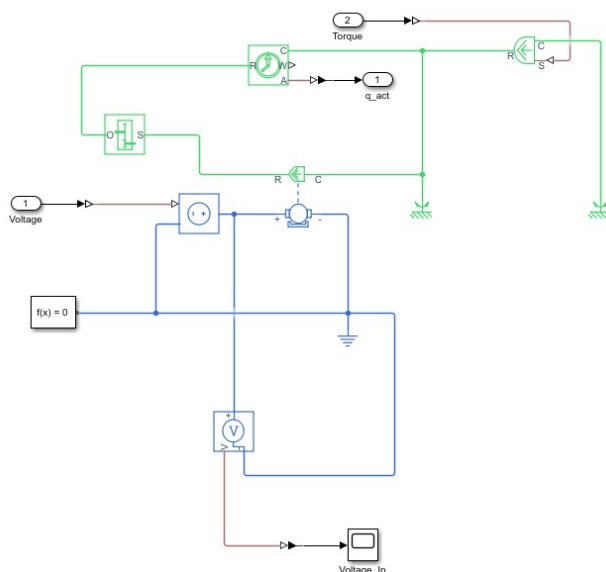


Fig 4.3.2 Schema bloc a servo-motorului

Ecuatia fundamentala a miscarii este :

$$T - T_s = I \frac{d\omega}{dt} \quad (12.0)$$

Legea ne zice ca, aparitia unui moment motor T, diferit de un moment de sarcina

T_s ($T - T_s$ nu este null), duce la variatia impulsului, si vice versa.

In cazul dat momentul motor este generat de servo-motor, iar momentul rezistent este momentul bratului.

Diferenta acestor doua momente, vor duce la variatia vitezei unghiulare ω a motorului, care va deveni constanta in momentul cand cele doua momente T si T_s egale.

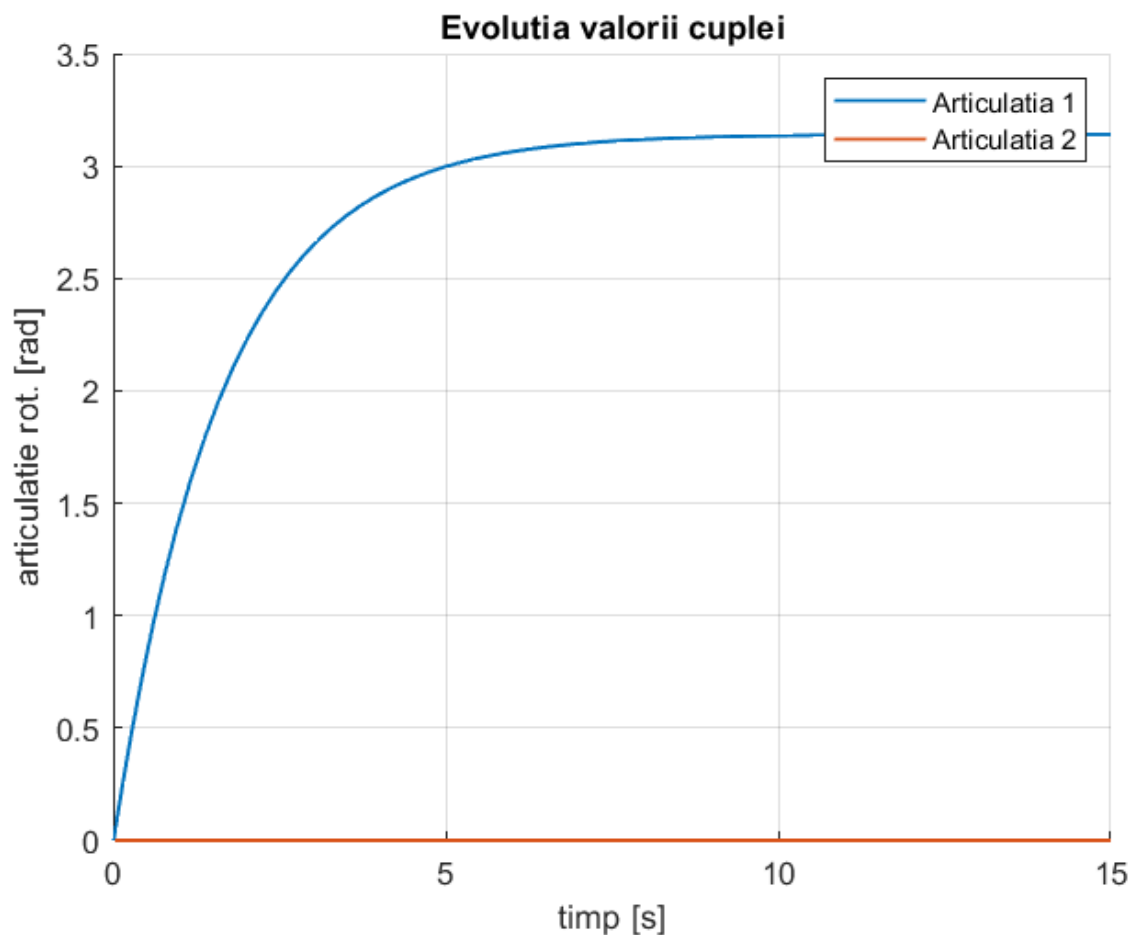


Fig 4.3.3 Graful evolutiei valorii cuplelor in timp

4.4 CONTROLUL ROBOTULUI PRIN FORTE/MOMENTE

Controlul bratului robotic se efectueaza acum, folosind pozitiile, vitezele, si acceleratiile dorite. Pentru ca algoritmul sa functioneze, va fi nevoit sa se faca o interpolare de la pozitia initiala, pana la pozitia finala dorite, trecanduse prin mai multe puncte intermediare. Acest lucru duce ca efectorul sa urmareasca o traiectorie. Generarea traiectoriilor se pot efectua folosind una din legile discutate

in subcapitolele 2.4.1 si 2.4.2.

Pentru exemplul dat, generarea traiectoriei va folosi legea de miscare discutata in capitolul 2.4.2,
Legea de miscare folosind semnal trapezoid.

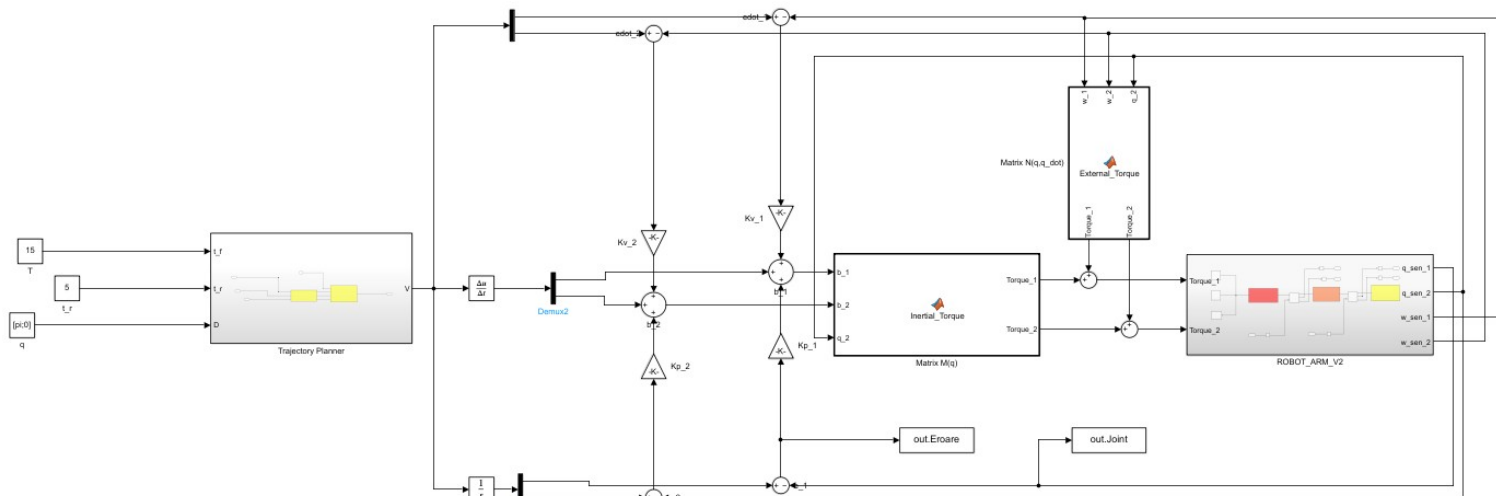


Fig 4.4.1 Schema bloc

Schema prezentata in figura 4.4.1 este format din 2 blocuri importante: blocul de generare a traiectoriei, si schema de control in sine.

Ecuatia care caracterizeaza sistemul este :

$$\ddot{e} + K_v \dot{e} + K_p e = 0 \quad (13.1)$$

Ecuatia diferentiala a
sistemului

Unde :

- K_v este coeficientul erori vitezelor

- K_p este coeficientul erori pozitilor

Prin modificarea valorilor K_v si K_p , se poate controla forma semnalului de iesire, ecuatia diferentiala fiind de tip PT2.

$$\frac{1}{s^2 + 2\omega_n \zeta s + \omega_n^2} \quad (13.2)$$

Ecuatia caracteristica a
unui sistem PT2

Pentru ca sistemul PT2 sa fie stabil, trebuie ca polii sistemului sa fie mai mici de zero ($s_{1,2} < 0$). Valoarea polilor depinde in intregime de valorile lui ω si ζ , unde ω reprezinta pulsatia naturala a sistemului si ζ coeficientul de amortizare.

In sistemul nostru coeficientii care afecteaza stabilitatea sistemului, pe cat si altii parametrii cum ar suprareglajul, banda de stabilitate etc. vor fi coeficientii K_v si K_p .

Valoriile alese pentru cei doi coeficientii sunt : $K_p = 100^2$ si $K_v = 200$

Ambii coeficientii au fost alesi ca fiind coeficientii unui binomi, deoarece in acel punct semnalul are calitatile cele mai bune (suprareglaj zero, nu este supra amortizat, timpul tranzitoriu cel mic etc.)

Semnalul de intrare va avea forma urmatoare:

$$\ddot{q} = u \quad (13.3)$$

$$u = -K_v \dot{e} - K_p e \quad (13.4)$$

Legea de comanda

În schema de control legea de comandă (13.3) va fi folosită în Modelul Dinamic Invers (MDI), pentru a determina cuplele din articulații, robotul fiind controlat prin cuple.

$$T = M(q)[\ddot{q} - u] + N(q, \dot{q}) \quad (13.5)$$

Unde :

- $N(q, \dot{q})$ este $B(q)[\dot{q}^2] + C(q)[\dot{q}\dot{q}] + G(q)$

Momentele T apoi sunt transmise în cuple iar bratul robotic se mișcă în poziția dorită.

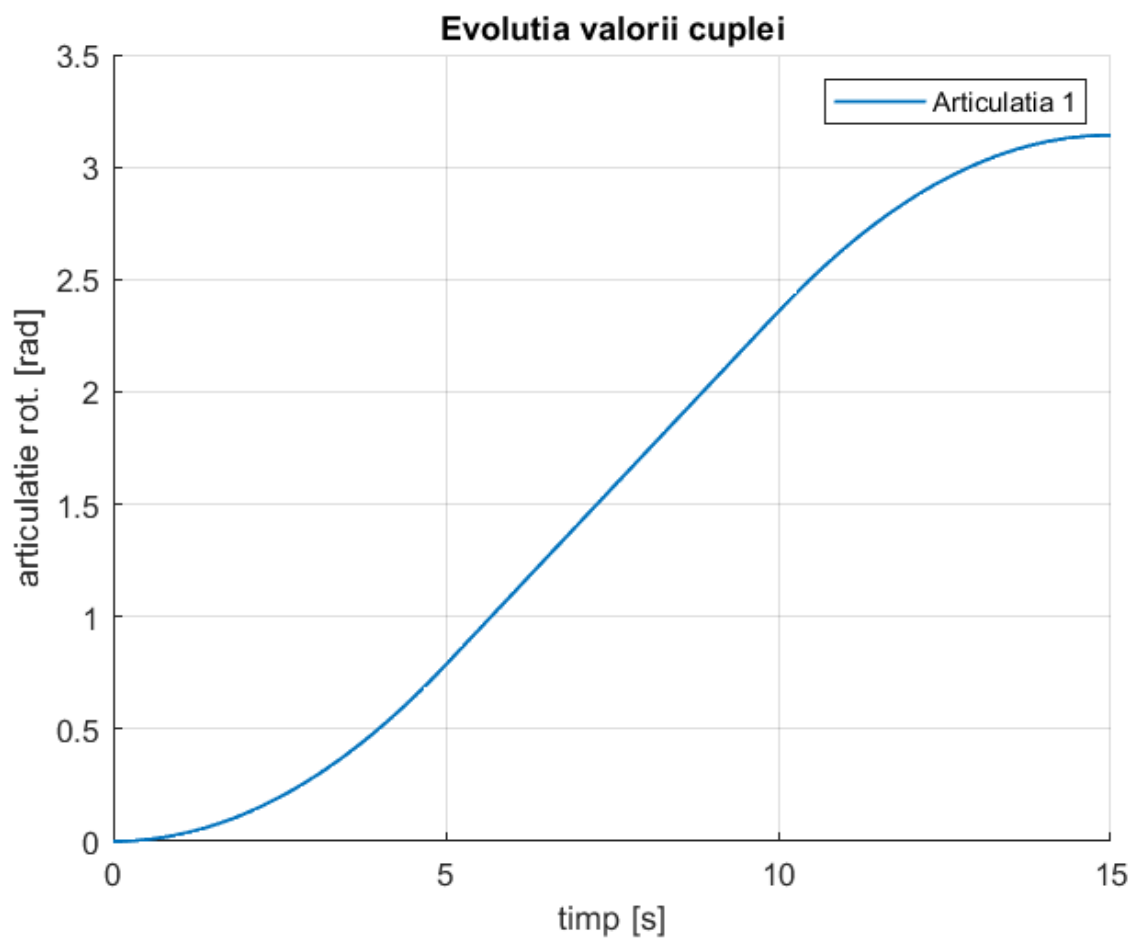


Fig 4.4.2 Graful evoluţiei valorii cuplei în timp

Din traductoare se scot valorile poziţiei, vitezei, la momentul curent, pentru a da “update” la erorile de poziţie şi viteză, iar procesul se repetă până când valorile erorilor sunt sub o valoare deja prestabilită de “threshold”.

4.5 CONTROLUL ROBOTULUI ÎN SPATIUL CARTEZIAN

Asemănător capitoului trecut, controlul se face identic, diferenţa fiind că se vor folosi poziţiile în spaţiul cartezian şi nu cele din spaţiul articular.

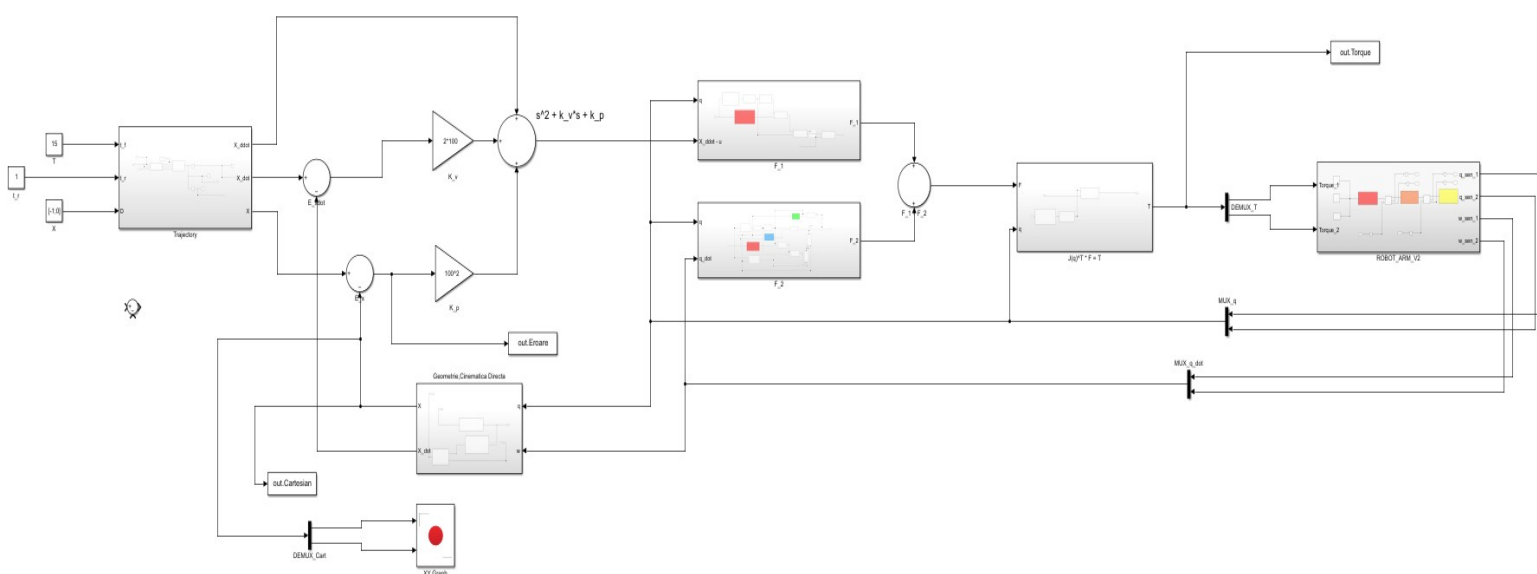


Fig 4.5.1 Schema bloc

Acum legea de comandă devine :

$$\ddot{x} - u \quad (14.1)$$

$$u = -K_v \dot{e} - K_p e \quad (13.4)$$



Si relatia (14.1) va fi folosita in determinarea fortelor in spatiul cartezian :

$$F = F_1 + F_2 \quad (14.2)$$

$$F_1 = M(x) [\ddot{x} - u] \quad (14.3)$$

$$F_2 = V(\dot{x}, x) + G(x) \quad (14.4)$$

Unde :

- $M(x)$ este $J(q)^{-T} M(q) J(q)^{-1}$
- $V(x, \dot{x})$ este $J(q)^{-T} V(q, \dot{q}) - M(q) \dot{J}(q) \dot{q}$, unde $V(q, \dot{q}) = C(q) [\dot{q}^2] + B(q) [\dot{q} \dot{q}]$
- $G(x)$ este $J(q)^{-T} G(q)$

Forța aflată în relația (14.2) va fi convertită din spațiul cartezian, în spațiul articular prin relația (14.5) :

$$J(q)^T F = T \quad (14.5)$$

Momentul T , fiind apoi introdus în cuple pentru a deplasa robotul, asemanator subcapitolului 4.4 .

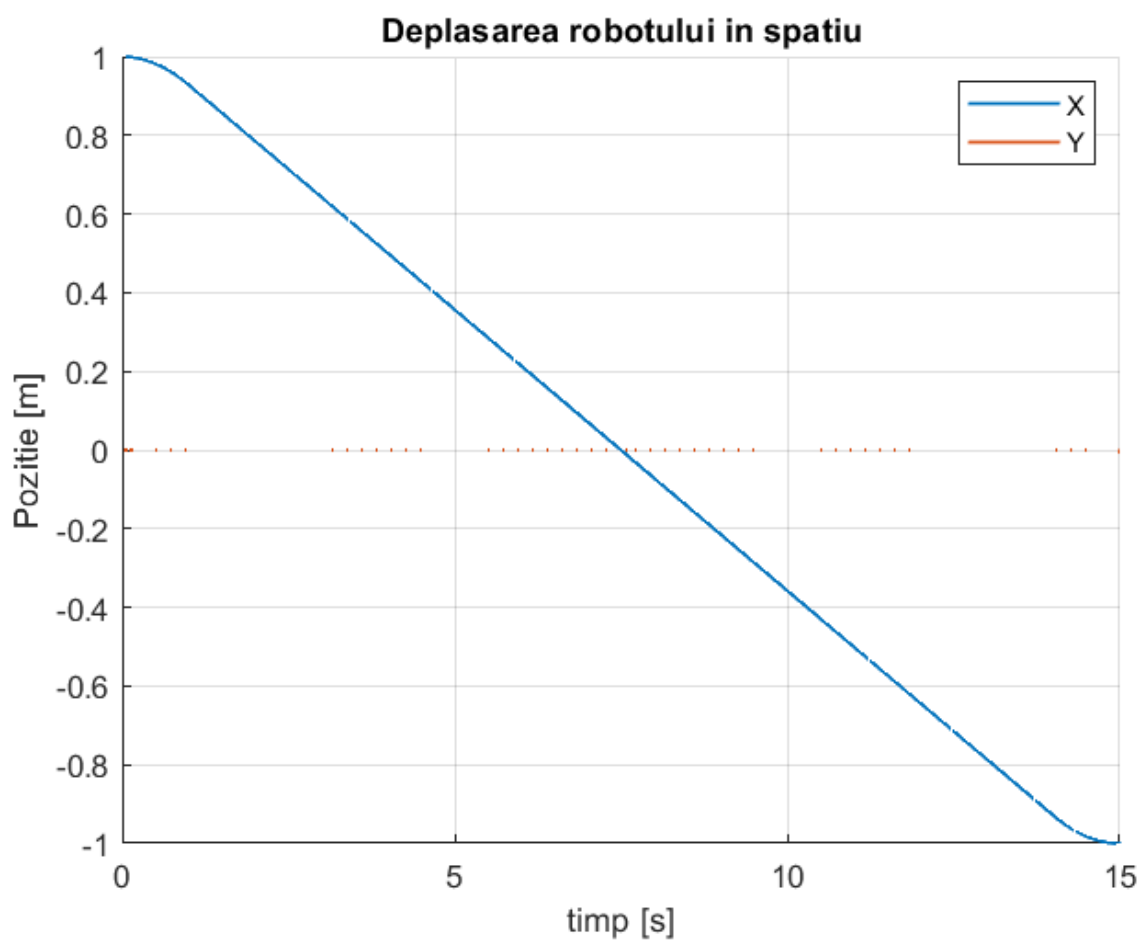


Fig 4.5.2 Evolutia deplasarii efectorului in spatiu

4.6 EVOLUTIA SI COMPARAREA ERORILOR

In acest capitol se vor discuta si afisa evolutia valorilor erorilor, fiecarei metode discutate in subcapitolele anterioare.

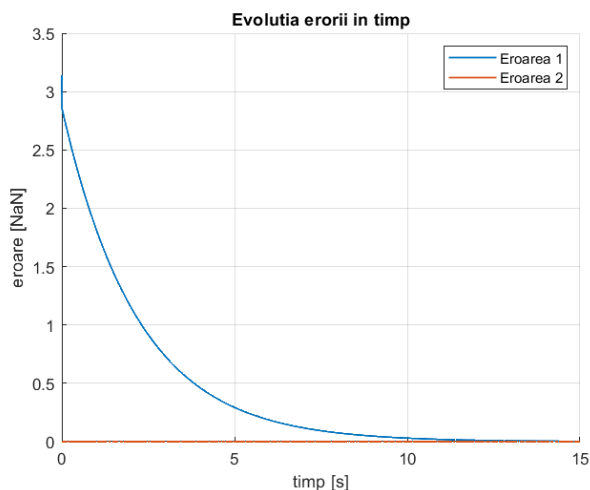


Fig 4.6.1 Evolutia erorii subcapitolul 4.2

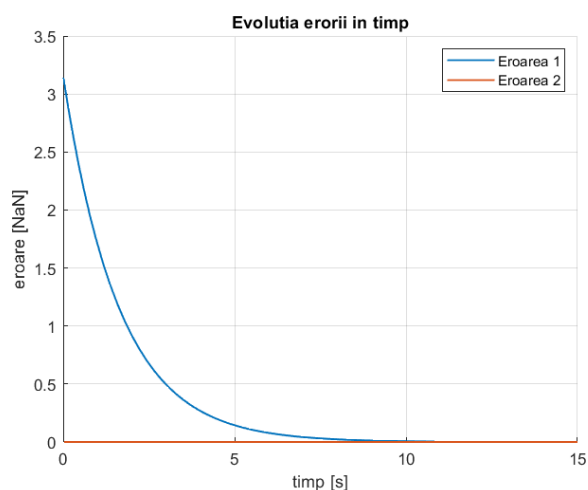


Fig 4.6.2 Evolutia erorii subcapitolul 4.3

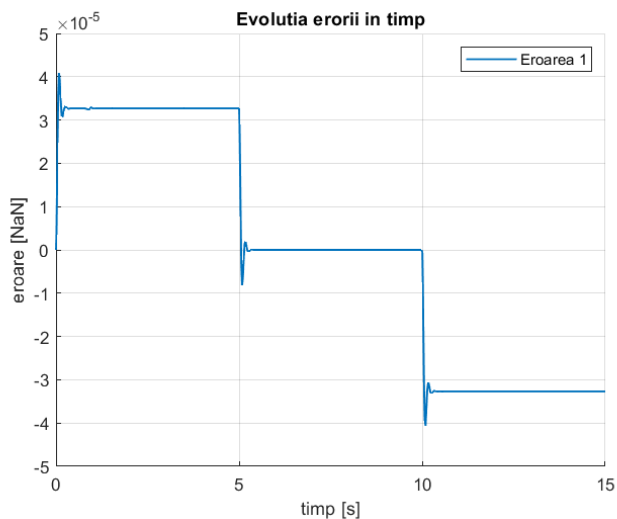


Fig 4.6.3 Evolutia erorii subcapitol 4.4

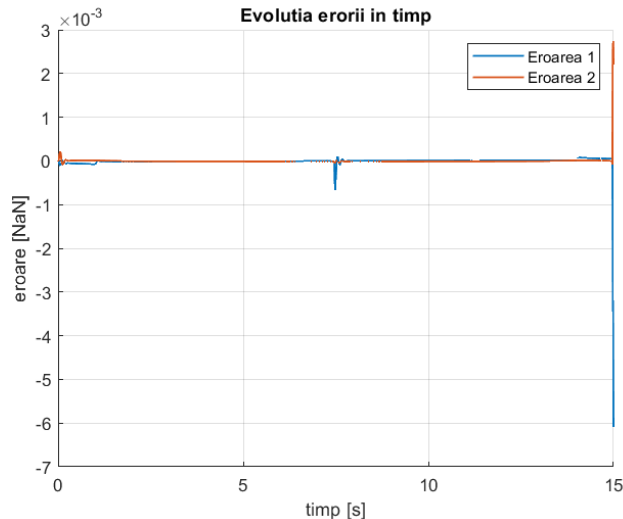


Fig 4.6.4 Evolutia erorii subcapitol 4.5

Dupa cum se observa, eroare primelor doua scheme, 4.2 si 4.3, au o evolutie a erorii foarte asemanatoare, ambele fiind o scadere exponentiala a valorii erorii spre 0.

Celalte doua grafice, 4.4 si 4.5, au valori ale erorii care oscileaza in jurul valorilor de 10^{-5} ,

respectiv 10^{-3} , acest lucru fiind datorat faptului ca valorile $q_d, \dot{q}_d, \ddot{q}_d$, respectiv $x_d, \dot{x}_d, \ddot{x}_d$ nu raman constante in timp, ci isi schimba valorile, acestea luand valorile punctelor interpolate pe traiectorie.

Toate erorile, la $t \rightarrow \infty$ iau valori de zero, ceea ce inseamna ca acestea ajung in pozitia specificata.

5. CONCLUZIE

Am proiectat un brat robotic, cu doua cuple rotative (RR), care este capabil sa indeplineasca sarciniile de “pick and place” si “tracking.

6. ANEXE

```

1 function RR_Robot(q,l,dim)
2 %UNTITLED Summary of this function goes here
3 % Detailed explanation goes here
4
5 for t = 0:0.01:1
6
7     view(dim)
8     hold on;
9     grid on;
10    pause(0.0001)
11    cla
12
13
14    axis([0 1 0 1 -0.25 0.25])
15
16    q_1 = -2*q(1,:)*t.^3 + 3*q(1,:)*t.^2; %Legea de miscare cupla_1
17    q_2 = -2*q(2,:)*t.^3 + 3*q(2,:)*t.^2; %Legea de miscare cupla_2
18
19    %-----MGD-----
20
21    x = [0.1;0;0];
22    y = [0;0.1;0]; %%Reperul {0} --> Baza
23    z = [0;0;0.1];
24    o = [0;0;0];
25

```

```

26
27
28 T_01 = [cos(q_1) , -sin(q_1) , 0 , 0; ...
29         sin(q_1) , cos(q_1) , 0 , 0; ... %Transformare de la {0} la {1}
30         0 , 0 , 1 , 0; ...
31         0 , 0 , 0 , 1];
32
33 T_12 = [cos(q_2) , -sin(q_2) , 0 , 1(1,:); ...
34         sin(q_2) , cos(q_2) , 0 , 0 ; ... %Transformare de la {1} la {2}
35         0 , 0 , 1 , 0 ; ...
36         0 , 0 , 0 , 1 ];
37
38 T_2e = [ 1 , 0 , 0 , 1(2,:); ...
39         0 , 1 , 0 , 0 ; ... %Transformare de la {2} la {e}
40         0 , 0 , 1 , 0 ; ...
41         0 , 0 , 0 , 1 ];
42
43 T_02 = T_01 * T_12 ;%Transformare de la {0} la {2}
44 T_0e = T_02 * T_2e ;%Transformare de la {0} la {e}
45
46 Ox = T_01*[x;1];
47 Oy = T_01*[y;1]; %Reperul {1} --> Cupla_Rotatie_1
48 Oz = T_01*[z;1];
49 Oo = T_01*[o;1];
50
51 Sx = T_02*[x;1];
52 Sy = T_02*[y;1]; %Reperul {2} --> Cupla_Rotatie_2
53 Sz = T_02*[z;1];
54 So = T_02*[o;1];
55
56
57 Px = T_0e*[x;1];
58 Py = T_0e*[y;1]; %Reperul {e} --> Efectorul
59 Pz = T_0e*[z;1];
60 Po = T_0e*[o;1];
61
62
63 R_matrix = [Oo,So,Po]; %Robotul
64
65 cupla_1 = nsidedpoly(10, 'Center', [Oo(1,:) Oo(2,:)], 'Radius', 0.04);
66 plot(cupla_1, 'FaceColor', 'b')
67

```

```

68 cupla_2 = nsidedpoly(10, 'Center', [So(1,:) So(2,:)], 'Radius', 0.04);
69 plot(cupla_2, 'FaceColor', 'b')
70
71 plot(R_matrix(1,:),R_matrix(2,:), 'black', 'LineWidth', 0.5)
72
73 plot3([o(1,:),x(1,:)],[o(2,:),x(2,:)],[o(3,:),x(3,:)], 'r', 'LineWidth', 1)
74 plot3([o(1,:),y(1,:)],[o(2,:),y(2,:)],[o(3,:),y(3,:)], 'b', 'LineWidth', 1)
75 plot3([o(1,:),z(1,:)],[o(2,:),z(2,:)],[o(3,:),y(3,:)], 'g', 'LineWidth', 1)
76
77 plot3([Oo(1,:),Ox(1,:)],[Oo(2,:),Ox(2,:)],[Oo(3,:),Ox(3,:)], 'r', 'LineWidth', 1)
78 plot3([Oo(1,:),Oy(1,:)],[Oo(2,:),Oy(2,:)],[Oo(3,:),Oy(3,:)], 'b', 'LineWidth', 1)
79 plot3([Oo(1,:),Oz(1,:)],[Oo(2,:),Oz(2,:)],[Oo(3,:),Oz(3,:)], 'g', 'LineWidth', 1)
80
81 plot3([So(1,:),Sx(1,:)],[So(2,:),Sx(2,:)],[So(3,:),Sx(3,:)], 'r', 'LineWidth', 1)
82 plot3([So(1,:),Sy(1,:)],[So(2,:),Sy(2,:)],[So(3,:),Sy(3,:)], 'b', 'LineWidth', 1)
83 plot3([So(1,:),Sz(1,:)],[So(2,:),Sz(2,:)],[So(3,:),Sz(3,:)], 'g', 'LineWidth', 1)
84
85 plot3([Po(1,:),Px(1,:)],[Po(2,:),Px(2,:)],[Po(3,:),Px(3,:)], 'r', 'LineWidth', 1)
86 plot3([Po(1,:),Py(1,:)],[Po(2,:),Py(2,:)],[Po(3,:),Py(3,:)], 'b', 'LineWidth', 1)
87 plot3([Po(1,:),Pz(1,:)],[Po(2,:),Pz(2,:)],[Po(3,:),Pz(3,:)], 'g', 'LineWidth', 1)
88
89 end
90 end

```

Fig 6.1 Functie Matlab Robot_RR

```

1 function Robot_Graph_V2(q)
2 %UNTITLED2 Summary of this function goes here
3 % Detailed explanation goes here
4 T = 1;
5 hold
6 grid
7 t = 0:0.01:1;
8
9 P = -2*q*(t.^3)/T^3 + 3*q*(t.^2)/T^2;
10 V = -6*q*(t.^2)/T^3 + 6*q*(t)/T^2;
11 A = -12*q*(t)/T^3 + 6*q/T^2;
12
13 plot(t,P,'Color','r','LineWidth',2);
14 plot(t,V,'Color','b','LineWidth',2);
15 plot(t,A,'Color','g','LineWidth',2);
16 legend('Deplasare [m]', 'Viteza [m/s]', 'Acceleratie [m/s^2]')
17 xlabel('timp [s]')
18
19
20
21
22 end

```

Fig 6.2 Generare Lege de miscare polinomiala

```

1  function V= Velocity(t,t_f,t_r,V_max)
2
3      V = [0;0];
4      if t <= t_r
5          V = V_max*t/t_r;
6      end
7
8      if (t > t_r) && (t < t_f - t_r)
9          V = V_max;
10     end
11
12     if (t >= t_f - t_r) && (t <= t_f)
13         V = V_max*(t_f - t)/t_r;
14     end

```

Fig 6.3 Generare Lege de miscare semnal Trapezoid

```

1  function Robot_Simuly(p_d,l,K)
2      %UNTITLED Summary of this function goes here
3      % Detailed explanation goes here
4      hold on;
5      grid on;
6
7      q_1 = 10.^-9; %10.^-9
8      q_2 = 10.^-9;
9
10     eps = 0.05; % precizia 0.0001
11
12     error = p_d ;
13     sum_error = [0;0];
14
15     axis([-1 1 -1 1 ])
16
17     while (sqrt(error(1,:).^2 + error(2,:).^2)) > eps
18
19         pause(0.1)
20         cla
21
22         error_pred = error;
23
24
25         x = [0.1;0;0];
26         y = [0;0.1;0]; %%Reperul {0} --> Baza
27         z = [0;0;0.1];
28         o = [0;0;0];
29
30

```



```

32 T_01 = [cos(q_1) , -sin(q_1) , 0 , 0; ...
33         sin(q_1) , cos(q_1) , 0 , 0; ... %Transformare de la {0} la {1}
34         0 , 0 , 1 , 0; ...
35         0 , 0 , 0 , 1];
36
37 T_12 = [cos(q_2) , -sin(q_2) , 0 , 1(1,:); ...
38         sin(q_2) , cos(q_2) , 0 , 0 ; ... %Transformare de la {1} la {2}
39         0 , 0 , 1 , 0 ; ...
40         0 , 0 , 0 , 1 ];
41
42 T_2e = [ 1 , 0 , 0 , 1(2,:); ...
43         0 , 1 , 0 , 0 ; ... %Transformare de la {2} la {e}
44         0 , 0 , 1 , 0 ; ...
45         0 , 0 , 0 , 1 ];
46
47 T_02 = T_01 * T_12 ;%Transformare de la {0} la {2}
48 T_0e = T_02 * T_2e ;%Transformare de la {0} la {e}
49
50 Ox = T_01*[x;1];
51 Oy = T_01*[y;1]; %Reperul {1} --> Cupla_Rotatie_1
52 Oz = T_01*[z;1];
53 Oo = T_01*[o;1];
54
55 Sx = T_02*[x;1];
56 Sy = T_02*[y;1]; %Reperul {2} --> Cupla_Rotatie_2
57 Sz = T_02*[z;1];
58 So = T_02*[o;1];
59
60
61 Px = T_0e*[x;1];
62 Py = T_0e*[y;1]; %Reperul {e} --> Efectorul
63 Pz = T_0e*[z;1];
64 Po = T_0e*[o;1];
65
66
67 R_matrix = [Oo,So,Po]; %Robotul
68
69 cupla_1 = nsidedpoly(10, 'Center', [Oo(1,:) Oo(2,:)], 'Radius', 0.04);
70 plot(cupla_1, 'FaceColor', 'b')
71

```

```

72 cupla_2 = nsidedpoly(10, 'Center', [So(1,:) So(2,:)], 'Radius', 0.04);
73 plot(cupla_2, 'FaceColor', 'b')
74
75 plot(R_matrix(1,:),R_matrix(2,:), 'black', 'LineWidth', 0.5)
76
77 plot3([o(1,:),x(1,:)],[o(2,:),x(2,:)],[o(3,:),x(3,:)], 'r', 'LineWidth', 1)
78 plot3([o(1,:),y(1,:)],[o(2,:),y(2,:)],[o(3,:),y(3,:)], 'b', 'LineWidth', 1)
79 plot3([o(1,:),z(1,:)],[o(2,:),z(2,:)],[o(3,:),y(3,:)], 'g', 'LineWidth', 1)
80
81 plot3([Oo(1,:),Ox(1,:)],[Oo(2,:),Ox(2,:)],[Oo(3,:),Ox(3,:)], 'r', 'LineWidth', 1)
82 plot3([Oo(1,:),Oy(1,:)],[Oo(2,:),Oy(2,:)],[Oo(3,:),Oy(3,:)], 'b', 'LineWidth', 1)
83 plot3([Oo(1,:),Oz(1,:)],[Oo(2,:),Oz(2,:)],[Oo(3,:),Oz(3,:)], 'g', 'LineWidth', 1)
84
85 plot3([So(1,:),Sx(1,:)],[So(2,:),Sx(2,:)],[So(3,:),Sx(3,:)], 'r', 'LineWidth', 1)
86 plot3([So(1,:),Sy(1,:)],[So(2,:),Sy(2,:)],[So(3,:),Sy(3,:)], 'b', 'LineWidth', 1)
87 plot3([So(1,:),Sz(1,:)],[So(2,:),Sz(2,:)],[So(3,:),Sz(3,:)], 'g', 'LineWidth', 1)
88
89 plot3([Po(1,:),Px(1,:)],[Po(2,:),Px(2,:)],[Po(3,:),Px(3,:)], 'r', 'LineWidth', 1)
90 plot3([Po(1,:),Py(1,:)],[Po(2,:),Py(2,:)],[Po(3,:),Py(3,:)], 'b', 'LineWidth', 1)
91 plot3([Po(1,:),Pz(1,:)],[Po(2,:),Pz(2,:)],[Po(3,:),Pz(3,:)], 'g', 'LineWidth', 1)
92
93 x_k = l(1,:)*cos(q_1) + l(2,:)*cos(q_1 + q_2)
94 y_k = l(1,:)*sin(q_1) + l(2,:)*sin(q_1 + q_2)
95
96 Jv = [-l(1,:)*sin(q_1)-l(2,:)*sin(q_1+q_2), -l(2,:)*sin(q_1+q_2);
97        l(1,:)*cos(q_1)+l(2,:)*cos(q_1+q_2), l(2,:)*cos(q_1+q_2)];
98
99 error = p_d - [x_k;y_k]
100 delta_error = error - error_pred;
101 sum_error = sum_error + error;
102
103 delta_q = inv(Jv)*(K(1,:)*error + K(2,:)*delta_error + K(3,:)*sum_error); %PID
104
105 q_1 = q_1 + delta_q(1,:);
106 q_2 = q_2 + delta_q(2,:);
107
108
109 end

```

Fig 6.4 Geometrie inversa Robot RR



7. BIBLIOGRAFIE

- [1] Pozna, C. (2021). Bazele Cinematicii Robotilor Industriali.
- [2] Pozna, C. (2021). Dinamica Robotilor
- [3] Pozna, C. (2021). Sisteme de Conducere in Robotica.
- [4] <https://www.maxongroup.com/maxon/view/content/index>



Universitatea
Transilvania
din Brașov

Facultatea de Inginerie Electrică și Știința Calculatoarelor
Departamentul de Automatică și Tehnologia Informației
Programul de studii: Robotica